

# تخصیص توان نوری و سطح مدولاسیون در شبکه‌های نوری با لایه کنترل توزیع یافته مبتنی بر محاسبه مسیر متمن

میثم یاری بیگی<sup>۱</sup>، دانشجوی کارشناسی ارشد؛ لطف الله بیگی<sup>۲</sup>، استادیار

۱- دانشکده مهندسی برق - دانشگاه صنعتی خواجه نصیر الدین طوسی - تهران - ایران - yaribeygi@email.kntu.ac.ir

۲- دانشکده مهندسی برق - دانشگاه صنعتی خواجه نصیر الدین طوسی - تهران - ایران - beygi@kntu.ac.ir

**چکیده:** رشد نمایی تقاضای ترافیک در شبکه‌های نوری لزوم استفاده بهینه از پهنای باند را دربرداشتهدارد. افزایش ظرفیت شبکه با بهبود کیفیت سیگنال‌های نوری و امکان انتقال نرخ داده بیشتر با تخصیص مدولاسیون‌های سطح بالا تحقق می‌یابد. از عوامل مهم کاهش کیفیت سیگنال‌های نوری، اثرهای غیرخطی است که محاسبه دقیق آن در شبکه‌های نوری با لایه کنترل توزیع یافته ضمن افزایش پیچیدگی با صرف هزینه زیادی همراه است. در این مقاله برای شبکه‌های نوری با لایه کنترل متمن متمرکز یک الگوریتم محاسبه مسیر جدید با درنظر گرفتن مدل نویز گوسی برای بیان اثرهای غیرخطی ارائه می‌شود که علاوه بر تخصیص طول موج با روش ابتکاری، توان مسیرهای نوری در هر لحظه با هدف بیشینه‌سازی نرخ شانون در کل شبکه، بهروزرسانی شده تا با تخصیص مدولاسیون‌های سطح بالا، به هر درخواست حداقل مسیر نوری ممکن تخصیص داده شود. نتایج شبیه‌سازی روی شبکه DTG نشان می‌دهد که در مقایسه با روش‌های موجود تعداد مدولاسیون‌های سطح بالا بیشتر شده و گذردهی شبکه به طور متوسط به اندازه  $138.4 \text{ THz}$  افزایش می‌یابد.

**واژه‌های کلیدی:** شبکه‌های نوری، مسیر نوری، لایه کنترل متمن، مدل نویز گوسی، بیشینه‌سازی توان، مدولاسیون، گذردهی

## Optical Power and Modulation Level Assignment in PCE-based GMPLS Control Plane

M. Yaribeygi<sup>1</sup>, MSc Student; L. Beygi<sup>2</sup>, Assistant Professor

1- Faculty of Electrical Engineering, K.N. Toosi University of Technology, Tehran, Iran, Email: yaribeygi@email.kntu.ac.ir

2- Faculty of Electrical Engineering, K.N. Toosi University of Technology, Tehran, Iran, Email: beygi@kntu.ac.ir

**Abstract:** The tremendous growth in the demand for high data-rates in optical networks makes efficient use of available bandwidth indispensable. Network's throughput can be improved by exploiting high-level modulation formats which allow the transmission of high data-rate and upgrading the quality of optical communication signal which degrades due to transmission impairments. The nonlinearity of optical fibers has been long recognized as one of the most overriding factors limiting the quality of optical communication signal. Accurate evaluation of nonlinearity in generalized multiprotocol label switching (GMPLS) optical networks is more complex and costly. In this paper, we present a novel heuristic joint routing, wavelength and power allocation method for path computation element (PCE) based architecture for GMPLS optical networks such that launch power of the lightpaths are updated continuously, thereby the minimum number of lightpaths are assigned to the demands. The Gaussian noise (GN) model is exploited to capture the nonlinear effect and we focus on maximizing the Shannon sum rate for network. In the DTG network compared to existing methods, numerical results demonstrate that the number of higher order modulation formats is increased and the network throughput is improved about  $138.4 \text{ THz}$ .

**Keywords:** Optical network, lightpath, PCE-based GMPLS, gaussian noise model, power optimization, modulation, throughput

تاریخ ارسال مقاله: ۱۳۹۶/۶/۱۷

تاریخ اصلاح مقاله: ۱۳۹۶/۱۲/۲۷

تاریخ پذیرش مقاله: ۱۳۹۷/۳/۳

نام نویسنده مسئول: لطف الله بیگی

نشانی نویسنده مسئول: ایران - تهران - خیابان شریعتی - ضلع جنوب شرقی پل سید خندان - دانشگاه صنعتی خواجه نصیر الدین طوسی - دانشکده مهندسی برق.

## ۱- مقدمه

واقعیت سازگار نیست و لازم است الگوریتم‌های مسیریابی محدودیت‌های لایه فیزیکی مسیر را در نظر بگیرند تا ضمن استفاده بهینه از منابع موجود، سیگنال نوری با کیفیت قابل قبولی به گیرنده برسد. محدودیت‌هایی که لایه فیزیکی اعمال می‌کند را خارجی‌ها یا اثرهای لایه فیزیکی می‌شنند [۴، ۵]. اثرهای خطی از نوع ایستاده در حالی که تقسیم می‌شوند [۶]. اثرهای غیرخطی می‌باشد که دو بخش اثرهای خطی و غیرخطی می‌باشند [۷]. اثرهای غیرخطی ماهیتی پویا دارند و بهشت دارد که طول مسیرهای نوری و نحوه اختصاص طول موج‌ها در لینک‌های میانی مسیر بستگی دارند. ماهیت پویای اثرهای غیرخطی باعث ایجاد محدودیت جدی در تنظیم توان مسیرهای نوری می‌شود به طوری که امکان تنظیم توان یک مسیر نوری، به طور مستقل از سایر مسیرها وجود ندارد. اگر توان همه مسیرهای نوری به درستی تنظیم شوند کیفیت آن‌ها که با نسبت سیگنال به نویز (SNR) بیان می‌شود بهمود می‌یابد و درنتیجه می‌توان با اختصاص مدولاسیون‌های سطح بالاتر ظرفیت شبکه را بالا برده و از منابع طیفی موجود به صورت بهینه استفاده کرد. از جمله کارهایی که در رابطه با افزایش ظرفیت انجام شده است می‌توان به [۸] اشاره کرد که در آن اثر نرخ کدهای مختلف بر ظرفیت شبکه بررسی شده است و مدل نویز گوسی در مدولاسیون QAM-16 کشیده [۹] ساده با نرخ ارسال یکسان برای سمبل‌ها و مدولاسیون QAM-64 پیشرفت کرده است. در آن احتمال ارسال سمبل‌های با انرژی کمتر بیشتر از احتمال ارسال سمبل‌های با انرژی بیشتر است، برای سه شبکه متفاوت بررسی شده است. در این مرجع از مدل نویز گوسی برای بیان اثرهای غیرخطی استفاده شده است. در سال‌های اخیر یک مدل نویز گوسی برای اثرات غیرخطی سیگنال‌های WDM ارائه شده است [۱۰]. در مراجع [۱۱] و [۱۲] برای بیان اثرهای غیرخطی کانال‌ها بر یکدیگر و نیز اثر غیرخطی که خود کانال ایجاد می‌کند مدل نویز گوسی با دقت بررسی شده است. قبل از مدل نویز گوسی مدل OFDM برای بیان اثرهای غیرخطی ارائه شد [۱۳]. در [۱۴] مدلی تحلیلی و دقیق از نویز گوسی ارائه شده است و برتری این مدل نسبت به مدل OFDM نشان داده شده است. در [۱۵] با فرض پربودن تمام کانال‌ها در همه لینک‌ها و در نظر گرفتن اثرهای غیرخطی با مدل نویز گوسی، توان ارسالی و نوع مدولاسیون طوری اختصاص داده شده است که گذردهی شبکه بیشینه شود. در [۱۶] برای بهینه‌سازی توان کانال‌ها در یک لینک نوری، با هدف بهینه‌سازی SNR کانال‌ها از روش نیوتون-رافسون استفاده شده است و برای بهینه‌سازی در سطح شبکه به همه مسیرهای نوری توان یکسانی اختصاص داده شده است. در [۱۷] نوع مدولاسیون و سریار کد هم‌زمان باهم طوری اختصاص داده شده است که گذردهی شبکه بیشینه شود. در [۱۸] بهینه‌سازی کمترین حاشیه SNR انجام شده است و به مسیرهای نوری با کانال مشابه، توان یکسانی اختصاص داده می‌شود. درواقع در این مرجع شبکه به چند بخش تقسیم شده و بیشترین اثر نویز غیرخطی که یک کانال در هر بخش می‌تواند تجربه کند برای همه کانال‌های آن بخش در نظر گرفته می‌شود. سپس بهینه‌سازی توان در

امروزه با معرفی روزافرون سرویس‌های جدید و افزایش بی‌شمار کاربران اینترنت، حجم ترافیک در شبکه‌های زیرساخت افزایش چشم‌گیری داشته است. به طوری که تقاضا برای سرویس‌های انتقال داده هر ۱۶ ماه در حال دوبرابر شدن است [۱۹]. سیستم‌های مخابرات نوری به عنوان زیرساخت شبکه‌های مخابراتی مطرح هستند. در شبکه‌های نوری از فیبر نوری به عنوان رسانه انتقال استفاده می‌شود که قابلیت انتقال داده‌های حجمی در فاصله‌های طولانی را فراهم می‌کند. شبکه‌های نوری در سه سطح شبکه‌های هسته، شبکه‌های شهری و شبکه‌های دسترسی قابل پیاده‌سازی هستند. شبکه هسته زیرساخت شبکه و اتصال مسیریابها به هم را تشکیل می‌دهد که مجموع ترافیک شبکه‌های شهری و دسترسی را حمل می‌کند. در شبکه‌های هسته از روش تقسیم چندگانه طول موج (WDM) استفاده می‌شود [۲۰]. در این روش کل پهنهای باند فیبر به بازه‌های طیفی با طول یکسان تقسیم شده و از آن‌ها برای انتقال ترافیک کاربران استفاده می‌شود. در استاندارد اتحادیه بین‌المللی مخابرات (ITU-T) برای شبکه‌های ایستا کل پهنهای باند فیبر ۴ THz در نظر گرفته شده است و بازه‌های طیفی ۵۰ GHz می‌شود. هر کانال نوری را معادل یک طول موج در نظر می‌گیرند. در شبکه‌های نوری بین هر دو گره همسایه یک لینک نوری وجود دارد که بسته به طول فیزیکی آن به تعدادی گستره تقسیم می‌شود که در هر گستره یک تقویت‌کننده، توان همه طول موج‌ها را تقویت می‌کند. یکی از محدودیت‌های شبکه‌های نوری محدودیت پیوستگی طول موج است که طبق آن گرههای میانی قابلیت تعویض طول موج را ندارند و باید در تمام مسیر از یک طول موج استفاده شود. بنابراین در شبکه‌های نوری، مسیریابی پیچیده‌تر از شبکه‌های دیگر می‌شود و بحث مسیریابی و تخصیص طول موج (RWA) مطرح می‌شود. مسیریابی و ارائه سرویس در شبکه‌های نوری به دو دسته ایستا و پویا تقسیم می‌شود. در مسیریابی ایستا ماتریس ترافیک در خواست‌ها شامل مبدأ، مقصد و میزان نرخ درخواستی از قبیل مشخص است اما در مسیریابی پویا اطلاعات درخواست‌ها از قبیل مشخص نیست و انتخاب مسیر بهینه به مراتب دشوارتر می‌شود. ارائه سرویس‌های پویا در شبکه‌های نوری با استفاده از لایه کنترل انجام می‌شود. شبکه‌های امروزی با سه لایه مدیریت، کنترل و انتقال بیان می‌شوند، لایه کنترل و لایه انتقال به عنوان قلب شبکه برای انتقال ترافیک عمل می‌کنند. در این شبکه‌ها کنترل و مدیریت شبکه بر عهده‌ی پروتکل GMPLS است. این پروتکل به صورت توزیع یافته در شبکه اجرا می‌شود و با استفاده از آن امکان ایجاد ترافیک جدید و یا حذف ترافیک‌های موجود در شبکه فراهم می‌شود.

در اکثر الگوریتم‌های RWA لایه فیزیکی با یک مدل ایده‌آل در نظر گرفته می‌شود به طوری که امکان ایجاد مسیر نوری تنها با شرط وجود طول موج پیوسته در مسیر بررسی می‌شود [۲۱]. این مدل با

غیرخطی لزوم محاسبه مسیر با معماری متتمرکز نشان داده می‌شود. برای این هدف یک توسعه جدید از پروتکل PCE سلسله مراتبی برای شبکه‌های WDM ارائه می‌شود که براساس الگوریتم مسیریابی آن، با روش جدید تخصیص کanal، تخصیص توان بهینه، و مدولاسیون‌های سطح بالا به مسیرهای نوری گذرهای شبکه افزایش می‌یابد.

**تخصیص کanal:** با تحلیل دقیق مدل نویز گوسی یک الگوریتم ابتکاری برای تخصیص کanal ارائه می‌شود که در آن از بین مجموعه کanal‌های قابل تخصیص به یک مسیر نوری، کanalی اختصاص داده می‌شود که اثر غیرخطی کمتری را تجربه کند.

**تخصیص توان بهینه:** با ایجاد هر تغییری در شبکه از نظر اضافه‌شدن مسیر نوری جدید یا حذف یک مسیر نوری، هر بار توان کل مسیرهای نوری موجود در شبکه با استفاده از بهینه‌سازی محدود توان و با هدف بیشینه‌سازی نرخ شانون با یک فاصله ثابت از ظرفیت نهایی بهروزسانی می‌شوند. در این حالت برخلاف روش‌های قبلی، بهینه‌سازی در بعدی به تعداد کل مسیرهای نوری انجام می‌شود و به هر مسیر نوری یک توان منحصر به فرد اختصاص داده می‌شود. با در نظر گرفتن مدل نویز گوسی، توان مسیرهای نوری به هم وابسته می‌شوند و مسئله بهینه‌سازی توان به مسیرهای نوری با هدف بیشینه‌سازی نرخ شانون برای تمام مسیرها به یک مسئله بهینه‌سازی بدون قید تبدیل می‌شود.

**تخصیص مدولاسیون:** با توجه به نرخ درخواستی و SNR مسیر نوری که با دو روش قبل به دست می‌آید، مدولاسیون به‌گونه‌ای انتخاب می‌شود که نرخ درخواستی با حداقل مسیر نوری ممکن پاسخ داده شود.

عملکرد روش ارائه شده با ارزیابی گذرهای شبکه و مدولاسیون‌های سطح بالا به کمک شیوه‌سازی نشان داده می‌شود بهطوری که با مقایسه با روش‌های موجود گذرهای شبکه و میزان استفاده از مدولاسیون‌های سطح بالا بهطور چشم‌گیری افزایش می‌یابد.

این مقاله در شش بخش تدوین شده است. بخش دوم به اثرهای غیرخطی و مدل نویز گوسی می‌پردازد. در بخش سوم ابتدا ساختار و مفاهیم PCE مرور می‌شود و سپس به الگوریتم پیشنهادی محاسبه مسیر پرداخته می‌شود. در بخش چهارم الگوریتم‌های تخصیص کanal و تخصیص توان بهینه ارائه می‌شود. نتایج حاصل از شیوه‌سازی در بخش پنجم ارائه شده است و در پایان بخش ششم به نتیجه‌گیری اختصاص یافته است.

## ۲- اثرهای غیرخطی و مدل نویز گوسی

برای بررسی محدودیت‌های لایه‌ی فیزیکی و طراحی بهینه شبکه، یک مدل دقیق از لایه‌ی فیزیکی موردنیاز است. کیفیت سیگنال‌های نوری بهدلیل اختلال‌های ناشی از لایه‌ی انتقال کاهش می‌یابد که منجر به محدودشدن نرخ داده ارسالی می‌شود. این کاهش به علت اینباشت نویز ناشی از تقویت‌کننده‌ها و اثرهای غیرخطی بهدلیل

بعدی به تعداد بخش‌های شبکه انجام شده و برای تمام مسیرهای نوری یک بخش، توان بهینه یکسانی به دست می‌آید.

در مراجع مطرح شده تاکنون ارائه سرویس و مسیریابی ایستا موردنرسی قرار گرفته است. در مرجع [۱۶] توان مسیرهای نوری با استفاده از لایه کنترل با نرخ درخواستی ترافیک‌ها تطبیق داده می‌شود تا مانع از اشباع شدن توان تقویت‌کننده‌های نوری در گسترهای شود. در این مرجع مدل نویز گوسی برای بیان اثرهای غیرخطی لحاظ شده است اما توان اولیه مسیرها برای بدترین حالت از نظر اثرهای غیرخطی یعنی فرض پریودن کanal‌ها تعیین شده است. در شبکه‌های نوری پویا با افزایش پیچیدگی شبکه‌ها و معرفی مفاهیمی نظیر چندناحیه‌ای و چندلاجیه‌ای بودن و درنظرگرفتن خارجی‌های لایه فیزیکی استفاده از الگوریتم‌های مسیریابی قدیمی کارگشا نبوده و نیاز به معرفی الگوریتم مسیریابی جدید، بیش از پیش احساس می‌شود [۱۷]. رفع این نیازها با استفاده از الگوریتم‌های مسیریابی امکان‌پذیر است که محاسبات پیچیده‌ای در آن‌ها انجام شود و درنتیجه الگوریتم‌های نظری OSPF و ISIS که به صورت توزیع شده در شبکه اجرا می‌شوند بر پروتکل PCE ارائه شده است که به صورت مرکزی وظیفه مسیریابی و تخصیص منابع را انجام می‌دهد [۱۸]. PCE یک موجودیت در شبکه است که می‌تواند یک گره، یک بروزروز، یک برنامه یا هرجزی دیگر از شبکه باشد. وظیفه PCE انجام الگوریتم مسیریابی پویا با دسترسی به توابلوژی شبکه و اطلاعات لینک‌ها و گره‌های موجود در شبکه است. یکی از قابلیت‌های مهم PCE برای مسیریابی این است که برخلاف الگوریتم‌های مسیریابی شبکه‌های توزیع یافته که در آن‌ها یک گره از وضعیت کلی شبکه و از وضعیت کلی درخواست‌ها خبر ندارد و درنتیجه نمی‌تواند یک مسیری که از هر نظر بهتر است را پیدا کند، PCE می‌تواند یک بهینه‌سازی کلی انجام دهد و بهنوعی همه خواسته‌های شبکه را برآورده کند [۱۹].

با توجه به مطالعات انجام شده در زمینه مسیریابی، تخصیص طول موج، تخصیص توان و تخصیص مدولاسیون، در مراجع مطرح شده تاکنون لایه کنترل مطلع از اثرهای غیرخطی در نظرگرفته نشده است و تنها در مرجع ۱۶ با فرض پریودن همه کanal‌ها و درنتیجه تخصیص توان یکسان اولیه به آن‌ها مسئله کنترل توان با استفاده از لایه کنترل مطرح شده است.

در این مقاله برای اولین بار بهینه‌سازی تخصیص توان به کanal‌های نوری با استفاده از لایه کنترل انجام می‌شود و به هر مسیر نوری یک توان یکتا با هدف بیشینه‌سازی ظرفیت کل شبکه تخصیص داده می‌شود. ابتدا در لایه فیزیکی اثرهای غیرخطی کanal‌ها بر یک دیگر در یک گستره با استفاده از روابط مراجع قبلی محاسبه می‌شوند، سپس با ذخیره‌سازی آنها یک مدل جدید برای محاسبه توان مسیرهای نوری ارائه می‌شود که امکان تخصیص توان بهینه در لایه کنترل به صورت بلاذرنگ را فراهم می‌آورد. در گام بعدی با بررسی ماهیت اثرهای

درنتیجه همواره  $N_s(f_1, f_2, f) = N_s \chi$  خواهدبود [۸]. درحالی که طیف موجود به  $N$  کانال مجزا با شکل طیفی یکسان تقسیم شود و همچنین با فرض یکسان بودن توان سیگنال ارسالی با توان بعد از تقویت کننده‌ها در سراسر لینک، مدل گسسته نویز غیرخطی بهصورت زیر محاسبه می‌شود:

$$NL_n = \sum_{n_1=1}^N \sum_{n_2=1}^N \sum_{l=-1}^1 P_{n_1} P_{n_2} P_{n_1+n_2-n+l} D_l(n_1, n_2, n) \quad (4)$$

که در آن بهازای  $n_1 + n_2 - n + l$  از  $1$  تا  $N$ ،  $NL_n$  توان نویز غیرخطی کانال  $n$  ام براساس تابعی از توان سیگنال ارسالی ( $P_n$ ) در همه کانال‌ها می‌باشد و  $D_l(n_1, n_2, n)$  با رابطه (۵) محاسبه می‌شود. در این رابطه عوامل  $(f_1, f_2, f)$  و  $R_g(f)$  بهترتیب مقادیر نرمایزشده شکل طیفی کانال و فیلتر منطبق در گیرنده می‌باشند. با استفاده از رابطه (۵) ضریب تداخل غیرخطی کانال‌ها بدست می‌آید. برای هر کانال به ضریب تداخلی که خود کانال ایجاد می‌کند،  $SPM^{13}$ ، ضریب تداخل تک‌تک کانال‌های دیگر بر آن  $XPM^{13}$  و به ضریب تداخلی که چند کانال با هم روی آن ایجاد می‌کنند،  $FWM^{13}$  گفته می‌شود. در شبکه‌های WDM میزان  $FWM$  نسبت به دو عامل دیگر قابل صرف‌نظر است [۱۲]. در شبکه‌های نوری مسیرهای نوری طول‌های متفاوتی طی می‌کنند و در لینک‌های میانی با وضعیت‌های متفاوتی از نظر کانال‌های اشغال شده مواجه می‌شوند. یکی از چالش‌های به کارگیری اثرهای غیرخطی در شبکه‌های نوری پویا ایجاد تأخیر در محاسبه مسیر بهعلت پیچیدگی محاسبات مربوط به اثرهای غیرخطی می‌باشد.

$$\begin{aligned} D_l(n_1, n_2, n) &= \gamma^2 \frac{16}{27} \int_{-\frac{\Delta f}{2}}^{\frac{\Delta f}{2}} \int_{-\frac{\Delta f}{2}}^{\frac{\Delta f}{2}} \int_{-\frac{\Delta f}{2}}^{\frac{\Delta f}{2}} \\ &\rho(\xi_1 + n_1 \Delta f, \xi_2 + n_2 \Delta f, \xi + n \Delta f) \\ &\chi(\xi_1 + n_1 \Delta f, \xi_2 + n_2 \Delta f, \xi + n \Delta f) g(\xi_1) \\ &.g(\xi_2) g(\xi_1 + \xi_2 - \xi + l \Delta f) R g(\xi) \partial \xi_1 \partial \xi_2 \partial \xi. \end{aligned} \quad (5)$$

در این شبکه‌ها ارائه سرویس باید بهصورت بلاذرنگ باشد بههمین‌علت معمولاً در مقالات با فرض پریودن همه کانال‌ها بیشترین نویز غیرخطی که یک کانال می‌تواند تجربه کند را یک بار محاسبه کرده و در محاسبات برای هر مسیر نوری در هر وضعیتی این اثر غیرخطی در نظر گرفته می‌شود. این یک فرض محافظه‌کارانه است اما منجری عدم استفاده بهینه از متایع شبکه می‌شود.

در اینجا با استفاده از رابطه (۵) و درنظر گرفتن شکل طیفی مستطیلی با عرض  $50$  GHz، نرخ ارسال سمبول  $GBaud$ ،  $28$ ، فیلتر با ضریب فرود  $\alpha = 0.05$  و پارامترهای فیبر بهصورت  $\beta_1 = 0.22$  dB/km،  $\alpha = 0.22$  ps<sup>-1</sup>.km<sup>-1</sup>،  $\beta_2 = -21/3$  W<sup>-1</sup>km<sup>-1</sup>،  $\gamma = 1/3$  و ضریب تداخل غیرخطی  $\chi(f_1, f_2, f) = 0$  در یک گستره با طول  $80$  کیلومتر محاسبه و در بردار  $NLI_{ref}$  ذخیره می‌شود. اولین درایه این بردار  $SPM$  و  $SPM$  در یک گستره با طول  $80$  کیلومتر محاسبه و در بردار  $NLI$  انشاش نویز در گستره‌ها بهصورت ناهمدوس فرض می‌شود و

همسايگی کانال‌های WDM است. در یک شبکه نوری سیگنال‌های نوری مسیرهای متفاوتی طی می‌کنند و متناسب با مسافت ارسال و وضعیت کانال‌های اشغال شده در طول مسیر سطوح مختلفی از کاهش کیفیت را تجربه می‌کنند. در مرحله طراحی شبکه معمولاً پارامترهای فرستنده- گیرنده را بدون درنظر گرفتن اثرهای غیرخطی و برای بدترین حالت تنظیم می‌کنند که باعث عدم استفاده بهینه از متایع شبکه می‌شود. یک مدل دقیق برای بیان اثرهای غیرخطی می‌تواند این مشکل را حل کند. در سال ۲۰۱۲ مدل نویز گوسی با روشی WDM مبتنی بر FWM برای مدل کردن اثرهای غیرخطی سیگنال‌های WDM ارائه شده است. در این مدل فرض شده که انتشار سیگنال در فیبر نوری رفتاری شبیه به نویز گوسی دارد و همچنین طیف سیگنال‌های WDM بهصورت خطوطی گستته شده است تا اثرهایی که فرکانس‌های مختلف بر یکدیگر دارند با این مدل بیان شوند [۷]. مدل دقیق‌تر و کاربردی که تداخلات غیرخطی خود کانال و کانال‌های مجاور بر آن را با استفاده از فرمول مرجع نویز گوسی بیان می‌کند در [۸] مورد بررسی قرار گرفته است. این فرمول در رابطه (۱) آورده شده است:

$$G_{NL}(f) = \frac{16}{27} \gamma^2 \int_{-\infty}^{\infty} \int_{-\infty}^{\infty} \int_{-\infty}^{\infty} G_{WDM}(f_1) G_{WDM}(f_2) G_{WDM}(f_1 + f_2 - f) \cdot \rho(f_1, f_2, f) \chi(f_1, f_2, f) \partial f_1 \partial f_2 \quad (1)$$

که در آن عبارت  $G_{WDM}(f_1) G_{WDM}(f_2) G_{WDM}(f_1 + f_2 - f)$  چگالی طیف توان سه فرکانس  $f_1, f_2, f$ ،  $f_3 = f_1 + f_2 - f$  و  $f_1, f_2, f$  میزان تأثیر FWM سه فرکانس  $f_1, f_2, f$  و  $f_3$  بر  $f$  تشکیل می‌دهند و یکدیگر را نشان می‌دهند که فرکانس تداخل  $f$  را تشکیل می‌دهند و از رابطه (۲) بهدست می‌آید:

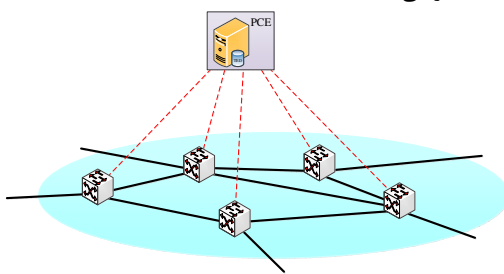
$$\rho(f_1, f_2, f) = \left[ \frac{1 - e^{-2\alpha L_s + j4\pi^2\beta_2 L_s (f_1 - f)(f_2 - f)}}{2\alpha - j4\pi^2\beta_2 (f_1 - f)(f_2 - f)} \right]^2 \quad (2)$$

$\chi(f_1, f_2, f)$  میزان همدوسی تداخل  $NLI$  در هر گستره از گیرنده را نشان می‌دهد که بهصورت زیر بهدست می‌آید:

$$\chi(f_1, f_2, f) = \frac{\sin^2(2N_s \pi^2 (f_1 - f)(f_2 - f) \beta_2 L_s)}{\sin^2(2\pi^2 (f_1 - f)(f_2 - f) \beta_2 L_s)} \quad (3)$$

سایر پارامترها همراه با واحد اندازه‌گیری بهترتیب عبارتنداز:  $\alpha(km^{-1})$  ضریب غیرخطی فیبر،  $L_s(km)$  طول گستره،  $\beta_2(ps^2.km^{-1})$  ضریب تلفات فیبر،  $N_s$  تعداد گستره‌های هر لینک می‌باشد. محاسبه‌ی رابطه (۱) بدليل قله‌های نوکتیز و متناوی که از صفرشدن همزمان صورت و مخرج عامل  $\chi(f_1, f_2, f) = 0$  در  $f_1 = 0$  ایجاد می‌شود، دشوار است. در این مقاله انشاش نویز در گستره‌ها بهصورت ناهمدوس فرض می‌شود و

مقصد پیغام RESv را در طول مسیر به سمت گره مبدأ می‌فرستد و این بار اتصال‌های ساخت‌افزاری در تمام گره‌های میانی انجام می‌شود. انجام الگوریتم‌های پیچیده مسیریابی در این شبکه‌ها مستلزم صرف هزینه بسیاری است زیرا باید الگوریتم‌های مذکور در تمام گره‌های موجود در شبکه پیاده‌سازی شوند که این امر علاوه‌بر صرف هزینه زیاد، پیچیدگی موجود در شبکه را نیز بهشت افزایش می‌دهد. برای حل این مشکلات شبکه‌های GMPLS با PCE ارائه می‌شود. برای انجام مسیریابی مشخصاً باید به ساختار شبکه دسترسی داشته و از توپولوژی موجود در شبکه مطلع باشد. این کار با دسترسی به TED<sup>۶</sup> انجام می‌شود. TED مجموعه‌ای از اطلاعات کل شبکه و تمام گره‌ها و لینک‌های موجود در آن می‌باشد که می‌تواند شامل بخش‌های مختلفی از جمله گره‌های موجود در شبکه و لینک‌های بین آن‌ها، پنهانی باند لینک‌ها، پنهانی باند رزروشده لینک‌ها، فاصله فیزیکی گره‌ها با یکدیگر و متريک‌های مربوط به مباحث مهندسی ترافیک باشد. لازم به ذکر است که هر متريک و محدودیت دیگری که قابل استفاده در مسیریابی باشد را می‌توان به TED اضافه نمود [۱۸]. همان‌طورکه در شکل ۲ مشخص است در این معماری یک عضو اصلی وجود دارد که تمام وظایف نظیر ارائه سرویس، مسیریابی و ... را باید انجام دهد که از آن تحت عنوان PCE یاد می‌شود. از طرفی سایر اجزای شبکه که می‌توانند کنترل کننده‌های عادی شبکه‌های GMPLS باشند، تحت عنوان "PCC" معرفی می‌شوند. پروتکلی که ارتباط بین PCE‌ها با یکدیگر و همچنین ارتباط بین PCE با PCC را به وجود می‌آورد PCreq PCC براساس نیاز و در قالب پیام درخواست PCEP می‌باشد. PCE در اختیار دارد اقدام به محاسبه مسیر می‌کند.



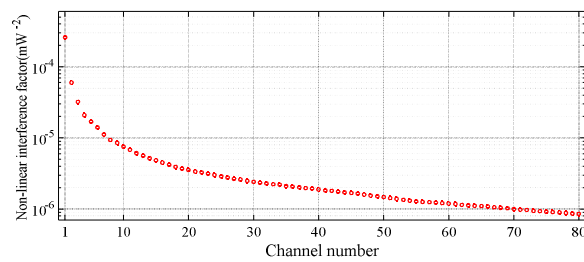
شکل ۲: معماری شبکه‌های نوری با PCE

با توجه به این که PCE از وضعیت کلی شبکه و درخواست‌ها اطلاع دارد می‌تواند مسیری که از هر نظر بهتر است را پیدا کند و بهنوعی همه خواسته‌های موجود در شبکه را برآورده کند. پس از آن که PCE مسیر موردنظر را پیدا کرد، آن را در قالب پیام PCReq به اطلاع PCC می‌رساند. درنهایت PCC با اجرای پروتکل RSVP-TE<sup>۷</sup> مسیر را برقرار می‌کند [۱۷].

### ۱-۳- نقش PCE در شبکه‌های چندناحیه‌ای

با افزایش ابعاد شبکه مسئله مسیریابی و مدیریت شبکه به مرتب

به ترتیب XPM سایر کانال‌ها را نشان می‌دهد. شکل ۱ نتایج ذخیره‌شده در بردار  $NLI_{ref}$  را نشان می‌دهد. همان‌طورکه در شکل مشخص است با افزایش فاصله کانال‌ها ضریب XPM به صورت نمایی کاهش می‌باشد. با استفاده از  $NLI_{ref}$  می‌توان اثر غیرخطی هر کانال  $i$  در یک گستره را محاسبه نمود. SPM کانال  $i$  برابر با درایه اول  $NLI_{ref}$  است و برای XPM کافی است براساس فاصله کانال‌های اشغال شده از کانال  $i$  درایه متناسب از  $NLI_{ref}$  انتخاب شود. به عنوان مثال اگر در یک گستره تنها کانال‌های ۵ و ۱۲ اشغال شده باشند؛ XPM کانال ۵ روی کانال ۱۲ برابر درایه ۷ از  $NLI_{ref}$  است.



شکل ۱: ضریب تداخل غیرخطی کانال‌ها در یک گستره

توان نویز غیرخطی یک کانال تابعی از توان خود کانال و توان سایر کانال‌های اشغال شده است. در مقیاس شبکه نویز غیرخطی هر مسیر نوری مجموع نویز غیرخطی است که آن مسیر نوری در لینک‌های مسیر تجربه می‌کند. درواقع برای مسیر نوری  $i$  ام در شبکه توان نویز غیرخطی به صورت زیر محاسبه می‌شود:

$$n_{p,i}^{NLI}(x) = x_{p,i} \sum_{l=1}^{m_i} \sum_{j=1}^N N_l x_{p,j}^2 NLI_{ref}(|n_i - n_j|) \quad (6)$$

که در آن  $x_{p,k}$ ،  $n_k$  و  $m_k$  به ترتیب توان، تعداد لینک‌ها و شماره کانال مسیر نوری  $k$ ، تعداد کانال‌های WDM و  $N_l$  تعداد گستره‌های لینک  $l$  ام است.

### ۳- ساختار و مفاهیم موجود در PCE

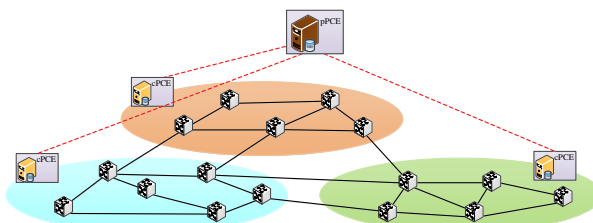
در شبکه‌های مرسوم فعلی کنترل و مدیریت شبکه برعهده پروتکل GMPLS است که به صورت توزیع یافته در شبکه اجرا شده و هر گره شبکه الگوریتم‌های مدیریتی مربوط به خود را انجام می‌دهد. این پروتکل از سه بخش اصلی<sup>۸</sup> RSVP-TE<sup>۹</sup>، LMP<sup>۱۰</sup> و OSPF-TE<sup>۱۱</sup> تشکیل شده است. وظیفه LMP<sup>۱۰</sup> تشخیص و مدیریت منابع موجود در هر گره می‌باشد. پروتکل OSPF<sup>۱۱</sup> علاوه‌بر محاسبه مسیر، وظیفه پخش اطلاعات گره‌ها در شبکه را دارد به صورتی که هر گره در شبکه از توپولوژی کل شبکه اطلاع داشته باشد. پس از آن که درخواست مسیری در یکی از گره‌ها ایجاد شد و OSPF<sup>۱۱</sup> مسیر موردنظر را پیدا کرد، پروتکل RSVP-TE در گره مبدأ شروع به ارسال پیغام path در طول مسیر می‌کند تا وجود منابع در گره‌های میانی و گره مقصود بررسی شوند. سپس گره

آن‌ها تغییرات ایجاد کند. به همین علت PCE حافظه‌دار و فعال معرفی می‌شود. در PCE حافظه‌دار هر گره علاوه‌بر دسترسی به TED به LSPDB<sup>۱۸</sup> نیز دسترسی دارد که در آن اطلاعات همه مسیرهای ایجادشده ذخیره شده است. PCE حافظه‌دار برای محاسبه مسیر جدید از LSPDB استفاده می‌کند اما حق ایجاد هیچ‌گونه تغییر در مسیرهای قبلی را ندارد. از طرفی در PCE حافظه‌دار و فعال امکان تغییر در مسیرهای قبلی وجود دارد و بنابراین در هر لحظه می‌توان به منظور بهینه‌سازی کلی شبکه در همه مسیرها تغییر ایجاد کرد. این تغییرات می‌تواند پهنای باند اختصاص‌یافته، پارامترهای فرستنده‌گیرنده‌ها و حتی حذف مسیرهای قبلی و ارائه یک مسیر جدید به آن‌ها باشد [۱۹].

### ۲-۳- توسعه PCE سلسنه‌مراتبی

در شبکه‌های نوری پویا برای استفاده بهینه از منابع درنظرگرفتن اثرهای غیرخطی می‌تواند بسیار مؤثر واقع شود اما ماهیت پویای اثرهای غیرخطی باعث پیچیدگی این موضوع می‌شود. اثر غیرخطی که مسیر نوری در شبکه تجربه می‌کند به تمام مسیرهای نوری موجود در شبکه که با این مسیر حداقل یک لینک مشترک دارند وابسته است. بنابراین تخصیص توان به یک مسیر نوری قطعاً بر سایر مسیرهای نوری موجود در شبکه تأثیر می‌گذارد. در شبکه‌های نوری پویا لازمه پیاده‌سازی الگوریتمی برای تخصیص توان با درنظرگرفتن اثرهای غیرخطی، وجود یک گره در شبکه است که از همه مسیرهای نوری موجود در شبکه به صورت لحظه‌ای مطلع باشد و بتواند در این مسیرها تغییر ایجاد کند. به‌وضوح مشخص است که این شبکه را می‌توان در قالب معماری PCE سلسنه‌مراتبی با pPCE حافظه‌دار و فعال تحقق بخشید. در اینجا به منظور پیشنهادی ظرفیت شبکه در هر لحظه و با درنظرگرفتن اثرهای غیرخطی یک الگوریتم جدید برای محاسبه مسیر در معماری PCE سلسنه‌مراتبی با pPCE حافظه‌دار و فعال ارائه می‌شود. شکل ۴ روند نمای محاسبه مسیر را نشان می‌دهد. هر گره در خواست محاسبه مسیر را به pPCE خود می‌فرستد. این درخواست شامل مبدأ، مقصد و نرخ درخواستی می‌باشد. سپس pPCE درخواست را به pPCE می‌فرستد. pPCE از cPCE مقصد و سایر cPCE هایی که ناحیه مبدأ را به ناحیه مقصد متصل می‌کنند درخواست محاسبه مسیر می‌کند و درنهایت کوتاه‌ترین مسیر انتهای‌انتها را از مبدأ به مقصد پیدا می‌کند. در مرحله بعد با استفاده از الگوریتم ابتکاری تخصیص کانال، از بین مجموعه کانال‌های پیوسته و اشغال‌نشده، به مسیر نوری جدید یک کانال اختصاص داده می‌شود. اگر کانال پیوسته و اشغال‌نشده وجود نداشته باشد درخواست مسدود می‌شود. در مرحله تخصیص توان به مسیر نوری جدید و سایر مسیرهای شبکه، به مسیر نوری جدید و همه مسیرهای نوری دیگر که در شبکه وجود دارند و با مسیر جدید و نیز با یکدیگر حداقل یک لینک مشترک دارند، توان جدید اختصاص داده می‌شود. الگوریتم

پیچیده‌تر می‌شود. از طرفی ممکن است بخش‌هایی از شبکه که توسط اپراتورهای مختلف مدیریت می‌شود به دلایل امنیتی تمایلی به انتقال اطلاعات به بخش‌های دیگر نداشتند بنابراین یک شبکه را معمولاً به چند ناحیه تقسیم می‌کنند. با استفاده از PCE می‌توان مسیریابی را در شبکه‌های چندناحیه‌ای انجام داد، برای انجام این کار در هر ناحیه یک PCE قرار می‌گیرد. هر گره با ورود درخواست، به PCE ناحیه خود تقاضای مسیر می‌کند؛ اگر مقصد درخواست در همان ناحیه نباشد مسیر کند. مسئله مهمی که در اینجا مطرح می‌شود نحوه نفوذ درخواست PCE ها برای یافتن مسیر بهینه است درواقع چون PCE ناحیه مبدأ از PCE مقصد و نحوه اتصال ناحیه‌ها مطلع نیست نمی‌تواند به درستی تصمیم بگیرد که از چه PCE درخواست مسیر کرده و یا از کدام گره گوشش مسیر را ایجاد کند. برای رفع این مشکل معماری PCE سلسنه‌مراتبی ارائه می‌شود. در این ساختار که در شکل ۳ نشان داده شده است در هر ناحیه یک PCE وجود دارد که از آن تحت عنوان cPCE یاد می‌شود. هر کدام از این cPCE ها وظیفه مسیریابی در ناحیه cPCE مربوط به خود را دارد اما cPCE ها از طریق یک PCE مرکزی مربوط به خود را در ارتباط دارند. در این روش لازم است تحت عنوان pPCE با هم در ارتباط هستند. در اینجا مخصوصاً درخواست pPCE نقشه توپولوژی کلی شبکه را داشته باشد، ناحیه‌ها و گره‌های موجود در آن‌ها، لینک‌های بین ناحیه‌های مختلف و ویژگی‌های لینک‌ها را بداند که مشخصاً این اطلاعات را از طریق pPCE ها دریافت می‌کند. در این معماری مبدأ درخواست مسیر خود را به pPCE مربوط به ناحیه‌ی خود می‌دهد، اگر مقصد در خارج از ناحیه pPCE باشد، آن‌ها مطلع است، pPCE درخواست محاسبه مسیر گوشش به گوشش و مقصد به گوشش را به همه cPCE های نواحی میانی و ناحیه مقصد می‌فرستد. پس از دریافت پاسخ، pPCE بهترین مسیر ممکن را پیدا کرده و از طریق pPCE درخواست کننده به اطلاع گره مبدأ می‌رساند و درنهایت گره مبدأ با استفاده از پروتکل RSVP-TE مسیر را برقرار می‌کند [۱۷].



شکل ۳: معماری شبکه‌های نوری با PCE سلسنه‌مراتبی

برای اجرای بعضی از الگوریتم‌های مسیریابی لازم است PCE از مسیرهای قبلی ایجادشده اطلاع داشته باشد و حتی اگر لازم شد در

مدولاسیون در جدول ۱ به عنوان SNR بحرانی برای مسیر لحاظ می شود و از این به بعد با اضافه شدن مسیرهای نوری جدید SNR این مسیر نباید از SNR بحرانی آن کمتر شود. اگر نرخ درخواستی بزرگ تر از  $R_{max}$  باشد باید یک کانال دیگر به درخواست تخصیص داده شود. درنهایت پس از این که نرخ درخواستی پاسخ داده شد مبدأ، مسیر محاسبه شده را به همراه جزئیات از طریق pPCE ناحیه خود دریافت کرده و با استفاده از پروتکل RSVP-TE مسیر را ایجاد می کند تا وضعیت کانال های تخصیص یافته به اشغال شده تغییر کرده و تنظیمات سخت افزاری در گره های مسیر انجام شود. علاوه بر این pPCE جدید همه فرستنده-گیرنده هایی که توان آن ها تغییر کرده را از طریق pPCE ها اعلام می کند تا در هر لحظه شبکه در حالت بهینه باشد. این کار با توسعه پروتکل PCEP و اضافه کردن متغیرهای لازم به پیغام PCrep انجام می شود. انتخاب  $SNR_{margin}$  کم تعداد درخواست هایی که به علت ایجاد اختلال در دیگر مسیرها مسدود می شوند را افزایش می دهد این در حالی است که  $SNR_{margin}$  بزرگ تضمین می کند که هیچ مسیر جدید به خاطر ایجاد اختلال در سایر مسیرها مسدود نشود اما باعث می شود از برهه ای که این روش ارائه می دهد به صورت بهینه استفاده نشود.

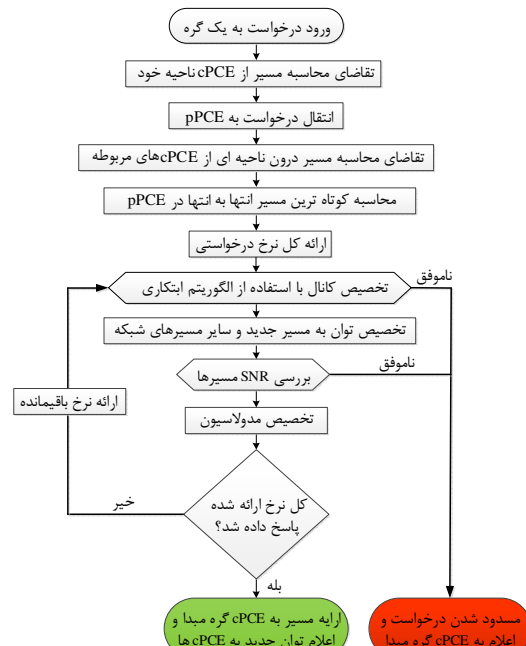
## جدول ۱: انواع مدولاسیون‌ها

| نوع مدولاسيون | تعداد بیت‌ها ( $\frac{b}{sym}$ ) | نرخ داده ( $\frac{Gib}{s}$ ) | مورد نیاز SNR (dB) |
|---------------|----------------------------------|------------------------------|--------------------|
| PM-BPSK       | 2                                | 50                           | 5.5                |
| PM-QPSK       | 4                                | 100                          | 8.5                |
| PM-8QAM       | 6                                | 150                          | 12.5               |
| PM-16QAM      | 8                                | 200                          | 15.1               |
| PM-32QAM      | 10                               | 250                          | 18.1               |
| PM-64QAM      | 12                               | 300                          | 21.1               |
| PM-128QAM     | 14                               | 350                          | 23.9               |
| PM-256QAM     | 16                               | 400                          | 26.8               |

#### ۴- الگوریتم تخصیص کانال و توان به مسیرهای نوری

با ورود هر درخواست پس از محاسبه مسیر، مجموعه کانال‌های اشغال نشده مسیر که در شرط پیوستگی طول موج صدق می‌کنند با استفاده از اطلاعات TED به دست آورده‌می‌شوند. سپس باید این این مجموعه کانال، یک یا چند کانال به مسیر اختصاص داده شود. بردار کانال‌های پیوسته و اشغال نشده مسیر PCUC<sup>۱۹</sup> نامیده‌می‌شوند. در این بردار شماره کانال‌های قابل تخصیص وجود دارد. متمم PCUC نسبت به بردار کل کانال‌های WDM، بردار کانال‌های اشغال شده مسیر می‌شود که این بردار POC<sup>۲۰</sup> نامیده‌می‌شود. در اینجا برخلاف روش‌های معمول مانند First-fit که اولین درایه PCUC را به مسیر اختصاص می‌دهند از یک الگوریتم ابتکاری برای تخصیص کانال استفاده می‌شود تا بهترین کانال از نظر پایین‌بودن XPM تخصیص داده شود. همان‌طور که در بخش ۲ توضیح داده شد با افزایش فاصله کانال‌ها اثر XPM آن‌ها کاهش می‌باید و لبه‌های طیف اثر غیرخطی

تخصیص کانال و تخصیص توان در بخش ۴ به صورت دقیق ارائه می‌شود. با تغییر توان یک مسیر نوری SNR آن نیز تغییر می‌کند. در نتیجه پس از تخصیص توان آزمایش بررسی SNR انجام می‌شود. این آزمایش ابتدا برای مسیرهایی که توان آن‌ها تغییر کرده انجام می‌شود به طوری که هر مسیر با SNR بحرانی آن که در مرحله تخصیص مدولاسیون تعیین شده مقایسه می‌شود. اگر SNR مسیری از SNR بحرانی آن کمتر شود؛ مسیر نوری جدید مسدود می‌شود زیرا اضافه شدن آن طبق اثرهای غیرخطی باعث ایجاد اختلال در دیگر مسیرها شده است. با این کار به مسیرهایی که با موفقیت ایجاد می‌شوند تضمین داده می‌شود که هیچ وقفه‌ای به علت اضافه شدن مسیرهای جدید در آن‌ها به وجود نیاید. اگر آزمایش SNR برای همه مسیرها با موفقیت انجام شود، SNR مسیر نوری جدید با حداقل SNR قابل قبول برای تخصیص مدولاسیون در جدول ۱ بررسی می‌شود و اگر کمتر از این مقدار باشد؛ مسیر جدید مسدود می‌شود. تخصیص مدولاسیون برای مسیر نوری جدید با توجه به SNR و نرخ درخواستی انجام می‌شود. جدول ۱ انواع مدولاسیون‌هایی که در مقالات موردا مستفاده قرار می‌گیرند را نشان می‌دهد.



شکل ۴: روند نمای محاسبه مسیر

در این جدول FEC-BER با  $4 \times 10^{-3}$  نرخ سمبیل GBaud و سریار کد ۱۲٪ در نظر گرفته شده است [۱۲]. برای مسیر نوری جدید با توجه به SNR بددست آمده و با درنظر گرفتن حاسیه اطمینانی SNR<sub>margin</sub>، طبق جدول ۱ ابتدا  $R_{max}$ ، حداقل نرخی که می‌توان با این SNR انتقال داد بددست می‌آید اگر نرخ درخواستی کوچکتر یا مساوی با  $R_{max}$  باشد، پایین ترین سطح مدولاسیونی که بتواند نرخ درخواستی را پاسخ دهد انتخاب شده و SNR موردنیاز آن

$$SNR_{p,i}(e^y) = \frac{e^{y_{p,i}}}{n_{p,i}^{ASE} + n_{p,i}^{NLI}(e^y)} \quad (10)$$

با اعمال  $\log$  به طرفین رابطه (۱۰)، رابطه (۱۱) به دست می‌آید:

$$\log(SNR_{p,i}(e^y)) = y_{p,i} - \log(n_{p,i}^{ASE}) - \log(n_{p,i}^{NLI}(e^y)) \quad (11)$$

در رابطه (۱۱) با توجه به محدودیت  $n_{p,i}^{NLI}$  بر حسب  $y$  و ثابت بودن  $n_{p,i}^{ASE}$ ، تابع  $\log(n_{p,i}^{ASE})$  از نوع مقعر لگاریتمی بر حسب متغیر  $y$  می‌باشد. بنابراین رابطه (۷) درنهایت به صورت زیر می‌شود:

$$\text{maximize } C(e^y) = 2 \sum_{i=1}^M \log_2(\Gamma SNR_{p,i}(e^y)) \quad (12)$$

جدول ۲: پارامترهای فیبر

| توضیح           | مقدار متغیر                         | متغیر     |
|-----------------|-------------------------------------|-----------|
| ثابت پلار       | $6.624 \times 10^{-34} \text{ J.s}$ | $h$       |
| سرعت نور        | $3 \times 10^8 \text{ m.s}^{-1}$    | $c$       |
| طول موج         | $1550 \text{ nm}$                   | $\lambda$ |
| عدد نویز        | $5 \text{ dB}$                      | $NF$      |
| ثابت تضعیف فیبر | $0.22 \text{ dB / km}$              | $\alpha$  |
| طول گستره       | $80 \text{ km}$                     | $L_s$     |
| نرخ سمبل        | $28 \text{ Gbaud}$                  | $R$       |

تابع مقعر لگاریتمی برخلاف تابع محدب لگاریتمی، روی جمع بسته نیستند درنتیجه به جای بیشینه‌سازی رابطه (۱۲) معکوس آن کمینه می‌شود. برای کمینه‌سازی از روش گرادیان کاهشی استفاده می‌شود. این روش به طور کلی به صورت الگوریتم (۱) است.

$$(1) \quad \begin{aligned} & 1 \text{ - شروع با یک مقدار اولیه عضو دامنه} \\ & x := \nabla f(x) \quad 2 \\ & 3 \text{ - جستجوی خط برای تعیین } t \\ & x := x + t \Delta x \quad 4 \end{aligned}$$

این الگوریتم تا زمانی که معیار توقف برآورده نشود تکرار می‌شود. معیار توقف می‌تواند تعیین یک سقف برای تعداد تکرارها یا تعیین یک کف برای اندازه گرادیان باشد. برای تعیین  $t$  از الگوریتم جستجوی خط عقب‌گرد به صورت زیر استفاده می‌شود:

$$(2) \quad \begin{aligned} & 1 \text{ - } \Delta x \text{ در جهت کاهش } f \text{ و } \beta \in (0, 0.5) \text{ و } \alpha \in (0, 1) \\ & 2 \text{ - } t := 1 \\ & 3 \text{ - تا زمانی که رابطه (۱۳) برآورده شد } t := \beta t \end{aligned}$$

کمتری تجربه می‌کنند. درواقع هرچه تعداد کانال‌های اشغال شده در مسیر نوری کمتر و فاصله آن‌ها از هم بیشتر باشد اثر غیرخطی کمتر خواهد شد. در این روش فاصله بین کانال‌های اشغال شده با استفاده از POC محاسبه و کانال جدید وسط دو کانالی که بیشترین فاصله را از هم دارند انتخاب می‌شود. درحالی که چند زوج کانال یکسان از نظر فاصله بیشینه از هم وجود داشته باشد، کانال جدید وسط زوج کانالی قرار می‌گیرد که به لبه‌های طیف نزدیکتر باشد.

پرatorهای شبکه برای پاسخ به افزایش روزافزون تقاضا برای استفاده از اینترنت باید ظرفیت شبکه را بهبود دهند. یکی از راه‌های کم‌هزینه افزایش ظرفیت شبکه استفاده بهینه از منابع موجود در شبکه است. برای افزایش ظرفیت می‌توان نرخ شانون برای کل مسیرهای نوری موجود در شبکه را بیشینه کرد. درینجا با هدف بیشینه‌سازی نرخ شانون با فاصله  $\Gamma = 10^{\alpha}$  از ظرفیت نهایی به هر یک از مسیرهای نوری موجود در شبکه یک توان بهینه اختصاص داده می‌شود. بنابراین هدف بیشینه‌سازی رابطه (۷) برای  $M$  مسیر نوری موجود در شبکه است [۱۵].

$$C(x) = 2 \sum_{i=1}^M \log_2(\Gamma SNR_{p,i}(x) + 1) \text{ maximize} \quad (7)$$

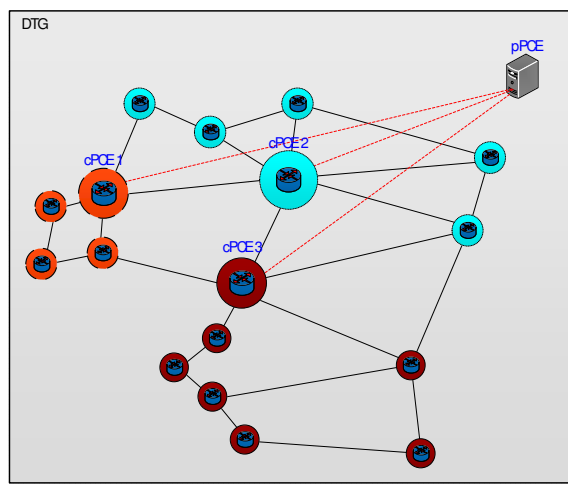
که در آن  $x$  توان مسیرهای نوری و متغیر بهینه‌سازی است. ضریب  $2$  مشخص‌کننده تعداد پلاریزاسیون و  $(x)$  معادل  $SNR_{p,i}(x)$  می‌باشد.  $SNR_{p,i}(x)$  نرخ نویز  $\alpha$  و یک مقدار بزرگ است بهطوری که می‌توان از تقریب  $\Gamma SNR + 1 = \Gamma SNR$  استفاده کرد. رابطه (۷) یک مسئله بهینه‌سازی بدون قید است. برای بیشینه‌سازی این رابطه ابتدا باید محدودیت  $SNR_{p,i}(x)$  بررسی شود.  $SNR$  مسیر نوری  $\alpha$  به صورت زیر بیان می‌شود:

$$SNR_{p,i}(x) = \frac{x_{p,i}}{n_{p,i}^{ASE} + n_{p,i}^{NLI}(x)} \quad (8)$$

در این رابطه  $n_{p,i}^{ASE}$  توان نویز تقویت‌کننده‌ها و یک مقدار ثابت است که از رابطه زیر محاسبه می‌شود:

$$n_{p,i}^{ASE} = h \frac{c}{\lambda} 10^{\frac{NF}{10}} e^{\alpha L_s} R \sum_{l=1}^{m_i} N_l \quad (9)$$

تعداد لینک‌های مسیر نوری  $i$ ،  $N_l$  تعداد گستره‌های لینک  $l$ ،  $m_i$  ام و سایر پارامترها در جدول ۲ آورده شده‌است.  $(x)$  توان نویز  $n_{p,i}^{NLI}$  غیرخطی است که در بخش دوم با رابطه (۶) ارائه شد. این عبارت محدب نیست اما با تغییر متغیر  $x = e^y$  به یک تابع محدب تبدیل می‌شود. با این وجود همچنان در مورد تابع  $SNR$  نمی‌توان اظهار نظر کرد. با جاگذاری  $e^y = x$  در رابطه (۸)، معادله به صورت زیر تغییر می‌کند:



شکل ۶: ناحیه‌بندی شبکه DTG آلمان در محیط شبیه‌سازی

در هر دو سناریو از روش مسیریابی دایکسترا برای یافتن کوتاه‌ترین مسیر درون‌ناحیه‌ای استفاده می‌شود. زمان ایجاد درخواست مسیر نوری توسط گره‌های شبکه طبق یک تابع نمایی با پارامتر  $0.4^0$  می‌باشد و گره درخواست‌کننده به همراه گره مقصد با یک توزیع یکنواخت انتخاب می‌شوند. شبیه‌سازی‌ها با حالت کامل‌آخالی از نظر وجود مسیر نوری در شبکه آغاز می‌شوند و آنقدر درخواست مسیر نوری در گره‌ها ایجاد می‌شود تا همه کانال‌ها در تمام لینک‌های شبکه اشغال شوند. بهمنظور ایجاد شرایط یکسان مجموعه درخواست‌هایی که در یک سناریو ایجاد می‌شوند ذخیره شده و برای سناریوی دیگر لحظه می‌شوند و تمام نتایج شبیه‌سازی میانگین  $50^0$  اجرای مختلف می‌باشند. حداقل SNR قابل قبول برای تخصیص مدولاسیون dB  $8/5$  در نظر گرفته می‌شود که طبق جدول ۲ معادل نرخ بیت  $100 \text{ Gb/s}$  است.

**تخصیص توان یکسان:** روش پیشنهادی در این مقاله با روش‌های موجود برای بررسی اثرهای غیرخطی مقایسه می‌شود. ابتدا در سطح یک گستره و با فرض اشغال‌بودن همه کانال‌ها، بیشترین توان نویز غیرخطی که یک کانال می‌تواند تجربه کند را محاسبه کرده و براساس آن توان همه کانال‌ها به صورت یکسان و با استفاده از رابطه (۱۴) محاسبه می‌شود [۱۲].

$$P = \sqrt[3]{\frac{n_s^{ASE}}{2X_m}} \quad (14)$$

که در آن  $X_m$  بیشترین اثر غیرخطی است که یک کانال می‌تواند تجربه کند و با استفاده از  $NLI_{ref}$  به دست می‌آید و  $n_s^{ASE}$  توان نویز ASE در یک گستره می‌باشد که با رابطه (۹) محاسبه می‌شود. سپس برای یک گستره SNR همه کانال‌ها با رابطه زیر به دست می‌آید [۱۲]:

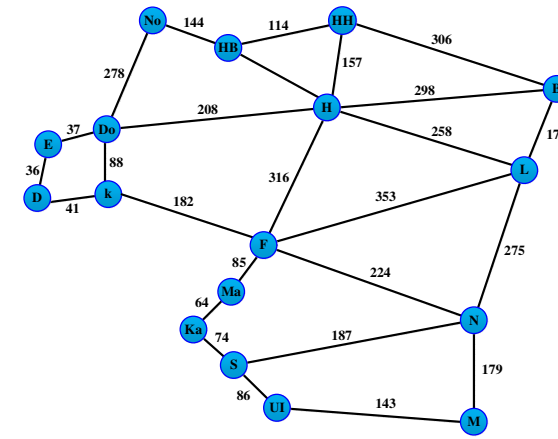
$$SNR_s = \frac{P}{n_s^{ASE} + P^3 X_m} \quad (15)$$

$$f(x + t\Delta x) > f(x) + \alpha t \nabla f(x)^T \Delta x \quad (13)$$

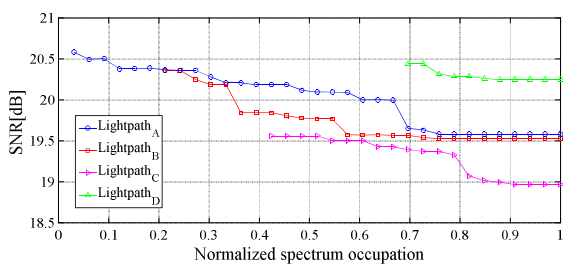
در اینجا مقادیر  $\alpha$  و  $\beta$  به ترتیب  $0.01/0$  و  $0.05/0$  انتخاب شده‌است. محاسبه گردیدن رابطه (۱۲) در پیوست آورده شده‌است.

##### ۵- نتایج شبیه‌سازی

به منظور ارزیابی الگوریتم پیشنهادشده، در اینجا یک شبیه‌سازی از شبکه‌های نوری با استفاده از نرم‌افزار OMNET++ نسخه ۵/۰ ارائه شده و پروتکل توسعه‌یافته PCE سلسله‌مراتبی با قابلیت محاسبه مسیر طبق الگوریتم پیشنهادی در آن پیاده‌سازی شده‌است. شبیه‌سازی روی شبکه DTG آلمان اجرا می‌شود. همان‌طور که در شکل ۵ می‌بینید این شبکه دارای ۱۷ گره و ۲۶ لینک نوری است. از فیبر تک‌حالته با مقدار پارامترهایی که در بخش‌های ۲ و ۴ گفته شد استفاده شده‌است و طول گستره‌ها نیز  $80 \text{ کیلومتر}$  می‌باشند. زمان ارسال داده‌ها با تأخیر انتشار نور در فیبر شبیه‌سازی شده‌است. به طوری که برای هر لینک نوری با توجه به طول فیزیکی آن در شکل ۵ یک تأخیر در نظر گرفته شده‌است. شکل ۶ تصویری از محیط شبیه‌سازی را نشان می‌دهد که در آن شبکه به ۳ ناحیه تقسیم شده و ePCE در هر ناحیه یکی از گره‌های آن ناحیه انتخاب شده‌است که دارای تعداد لینک‌های بیشتری باشد. نتایج شبیه‌سازی برای دو سناریو تخصیص توان یکسان و تخصیص توان بهینه با روش پیشنهادی به مسیرهای نوری ارائه می‌شود.



شکل ۶: توبولوژی شبکه DTG آلمان



شکل ۸: تغییر SNR مسیرهای نوری نسبت به کانال‌های اشغال شده در هر لحظه به تعداد کل کانال‌های موجود در شبکه

الگوریتم تخصیص توان در لحظه ایجاد مسیر نوری A توان  $W_{1/1}$  به آن اختصاص داده است که با توجه به طول مسیر و وضعیت کانال‌های اشغال شده در مسیر، SNR آن  $20/62$  dB به دست آمده است. این در حالی است که در سناریو تخصیص توان یکسان، برای این مسیر نوری SNR ثابت  $17/85$  dB به دست می‌آید. درنتیجه برای این مسیر نوری SNR به میزان  $2/77$  dB افزایش یافته است. اما با اضافه شدن مسیرهای نوری جدید به شبکه، توان بالای مسیر نوری A با توجه به وابستگی توان نویز گوسی مسیرهای نوری به یکدیگر، باعث بروز اختلال در سایر مسیرها شده و الگوریتم بهینه‌سازی توان، به نحوی توان این مسیر را کاهش می‌دهد که SNR همه مسیرها بیشینه شود. پس از اشغال شدن همه کانال‌های شبکه توان و SNR مسیر نوری A به ترتیب به  $0/97$  mW و  $19/64$  dB می‌رسد که باز هم SNR نسبت به روش تخصیص توان یکسان  $1/79$  dB بیشتر است. با توجه به توضیحات اخیر اگر SNR margin برای مسیر نوری A بیشتر از  $0/98$  در نظر گرفته شود، تضمین می‌شود که این مسیر نوری به علت اضافه شدن مسیرهای جدید دچار اختلال نمی‌شود. درواقع هنگام تخصیص مدولاسیون به مسیر نوری A باید SNR آن به جای  $20/62$  مقدار  $-SNR_{margin}$  -  $20/62$  در نظر گرفته شود، چون ممکن است SNR به حدی افت کند که دیگر ارسال سیگنال نوری با مدولاسیون تخصیص داده شده کیفیت لازم را در گیرنده نداشته باشد. افت SNR برای مسیرهای نوری B, C و D به ترتیب  $0/86$ ,  $0/84$  و  $0/83$  دسیبل است که نشان می‌دهد هر چه مسیر نوری دیرتر ایجاد شود افت SNR آن کمتر است. انتخاب SNR margin پایین باعث استفاده بیشتر از بهبود SNR ایجاد شده با روش پیشنهادی می‌شود اما تعداد درخواست‌های مسدود شده به علت ایجاد اختلال در سایر مسیرها افزایش می‌یابد.

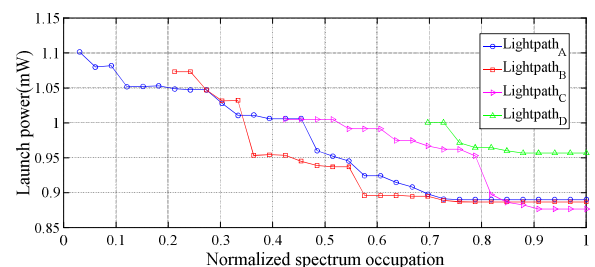
شکل ۹ تغییرات SNR یک مسیر نوری نسبت به کانال‌های اشغال شده شبکه را برای دو حالت تخصیص کانال با الگوریتم ابتکاری پیشنهاد شده در این مقاله و روش First-fit نشان می‌دهد.

درنهایت برای یک مسیر نوری که از  $k$  گستره تشکیل شده است، SNR با رابطه (۱۶) به دست می‌آید [۱۶]:

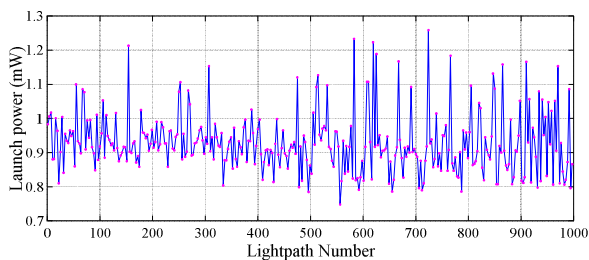
$$SNR_p = \frac{SNR_s}{k} \quad (16)$$

در این سناریو به همه مسیرهای نوری شبکه طبق رابطه (۱۴) توان یکسان  $W/74$  mW تخصیص داده می‌شود و چون حساسیتی نسبت بهجای کانال‌ها وجود ندارد از روش First-fit برای تخصیص کانال استفاده شده و برای هر مسیر نوری پس از محاسبه SNR طبق رابطه (۱۶)، تنها شرط بزرگ‌تر بودن SNR از حداقل SNR قابل قبول برای تخصیص مدولاسیون برسی می‌شود.

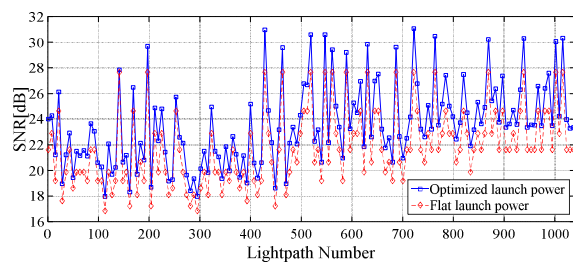
**تخصیص توان بهینه:** این سناریو روش پیشنهادی در این مقاله را شبیه‌سازی می‌کند که در هر لحظه با هدف بهینه‌سازی ظرفیت شبکه به مسیرهای نوری توان بهینه اختصاص داده می‌شود. در شبیه‌سازی‌ها اگر توان یک مسیر نوری بیشتر از  $W/0.01$  mW تغییر کند، در بخش ۴ دیده شد که SNR یک مسیر نوری با اضافه شدن مسیرهای نوری جدید به شبکه کاهش می‌یابد و SNR margin به عنوان یک حاشیه SNR برای رفع این مشکل معرفی شد. شکل‌های ۷ و ۸ به ترتیب میزان کاهش توان و SNR برای ۴ مسیر نوری مختلف در شبکه را نشان می‌دهند. در این دو شکل محور افقی نسبت تعداد کانال‌های اشغال شده در شبکه به تعداد کل کانال‌های موجود در همه لینک‌های شبکه را نشان می‌دهد که با گذر زمان و اضافه شدن مسیرهای نوری جدید درنهایت این نسبت به یک می‌رسد و از آن لحظه به بعد همه درخواست‌ها به علت نبود کانال مسدود می‌شوند. علاوه بر این مسیرهای نوری در زمان‌های مختلفی ایجاد شده‌اند به طوری که مسیر نوری A در اوایل شبیه‌سازی ایجاد شده و هنوز کمتر از ۴ درصد کانال‌های کل شبکه اشغال شده‌اند. مسیرهای نوری B, C و D به ترتیب بعد از اشغال شدن  $25\%$ ,  $50\%$  و  $75\%$  درصد کانال‌های کل شبکه ایجاد شده‌اند.



شکل ۷: تغییر توان مسیرهای نوری نسبت به کانال‌های اشغال شده در هر لحظه به تعداد کل کانال‌های موجود در شبکه

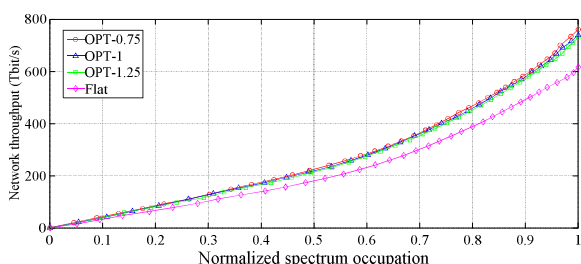


شکل ۱۰: توان مسیرهای نوری پس از پرشدن همه کانال‌های شبکه

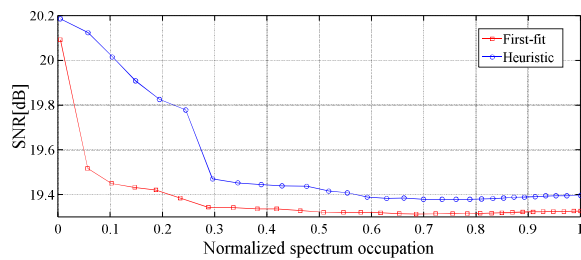


شکل ۱۱: SNR مسیرهای نوری پس از پرشدن همه کانال‌های شبکه.

شکل ۱۳ تعداد انواع مدولاسیون‌هایی که به مسیرهای نوری تخصیص داده شده است را نشان می‌دهد. همان‌طور که در این شکل مشاهده می‌شود با تخصیص توان بهینه به مسیرهای نوری تعداد مسیرهای نوری که از مدولاسیون‌های سطح بالاتر استفاده می‌کنند افزایش یافته است. برای مقایسه حالت‌های مختلف روش تخصیص توان بهینه، علاوه بر شکل‌های ۱۲، ۱۱ و ۱۳ باید مسدودشدن درخواست‌ها در هر حالت هم در نظر گرفته شود. در جدول ۳ تعداد درخواست‌های مسدودشده جمع‌آوری شده است. در همه سناریوها هیچ درخواستی به‌علت پایین‌بودن SNR مسدود نشده است. درواقع SNR هیچ مسیر نوری کمتر از  $8/5$  dB به دست نیامده است؛ این موضوع را می‌توان در شکل ۱۱ نیز مشاهده کرد. درحال OPT-0.75 اگرچه گذرهای و میزان استفاده از مدولاسیون‌های سطح بالاتر اندکی بیشتر از دو حالت دیگر است اما تعداد درخواست‌هایی که به‌علت ایجاد اختلال در مسیرهای قبلی مسدود شده‌اند ۳۷۲۲ درخواست است که عملکرد مطلوبی برای شبکه نیست. اما با انتخاب  $1/25$  dB برای  $\text{SNR}_{\text{margin}}$  به‌طور قطع این نوع مسدودشدن در شبکه حذف خواهد شد و همچنان بهبود گذرهای شبکه نیز قابل توجه است.



شکل ۱۲: گذرهای شبکه نسبت به کانال‌های اشغال شده در هر لحظه به تعداد کانال‌های موجود در شبکه



شکل ۹: مقایسه تغییر SNR یک مسیر نوری نسبت برای دو حالت تخصیص کانال با الگوریتم ابتکاری و روش First-fit

همان‌طور که در شکل ۹ مشخص است در روش First-fit به‌علت اختصاص کانال‌ها در کنار هم افت SNR با شبکه بیشتری نسبت الگوریتم ابتکاری اتفاق می‌افتد که نشان می‌دهد هرچه فاصله کانال‌های مسیرهای نوری از هم بیشتر باشد اثر غیرخطی کمتری تجربه می‌کنند و درنتیجه افت SNR نیز کمتر خواهد بود که حتی در زمان اشغال‌شدن تمام کانال‌های شبکه باز هم روش First-fit بهتر عمل می‌کند.

در ادامه مجموعه درخواست‌های یکسانی به دو سناریو تخصیص توان بهینه و تخصیص توان یکسان اعمال شده است تا تمام کانال‌های شبکه اشغال شوند و پس از اتمام شبیه‌سازی آخرین توان و SNR همه مسیرهای نوری بهتر ترتیب در شکل‌های ۱۰ و ۱۱ نشان داده شده است. در شکل ۱۰ توان مسیرهای نوری دارای میانگین  $0.96$  mW هستند که در مقایسه با توان یکسان  $0.74$  mW مربوط به سناریو تخصیص توان یکسان، به‌گونه‌ای افزایش یافته‌اند تا ظرفیت کل شبکه بیشینه شود. نتیجه تخصیص توان بهینه به مسیرهای نوری در شکل ۱۱ به‌خوبی نشان داده شده است. در این شکل میانگین و واریانس برای روش تخصیص توان یکسان بهتر ترتیب  $21/74$  dB و  $8/22$  و برای روش تخصیص توان بهینه  $23/52$  dB و  $10/28$  است به‌طوری که میانگین SNR مسیرهای نوری  $1/78$  dB نسبت به روش تخصیص توان یکسان افزایش یافته است. بنابراین روش تخصیص توان بهینه در بدترین حالت یعنی اشغال‌شدن همه کانال‌های شبکه، باز هم نسبت به تخصیص توان یکسان بهتر عمل می‌کند.

با افزایش SNR مسیرهای نوری امکان تخصیص مدولاسیون‌های سطح بالاتر برای ارسال نرخ داده بیشتر فراهم می‌شود و درنتیجه گذرهای کل شبکه افزایش می‌یابد. شکل ۱۲ گذرهای شبکه را نسبت به تعداد کانال‌های اشغال شده در هر لحظه به تعداد کل کانال‌های شبکه، برای سناریوهای تخصیص توان یکسان و تخصیص توان بهینه با مقدار مختلف  $\text{SNR}_{\text{margin}}$  نشان می‌دهد. در حالت‌های OPT-0.75، OPT-1 و OPT-1.25 مقدار  $\text{SNR}_{\text{margin}}$  بهتر ترتیب  $1/25$ ،  $0/75$  و  $1/25$  دسی بل در نظر گرفته شده است. در شکل ۱۲ گذرهای نهایی شبکه در سناریوی OPT-1.25 نسبت به تخصیص توان یکسان  $138/4$  THz افزایش یافته است.

### پیوست‌ها

برای محاسبه گرادیان رابطه (۱۲) ابتدا باید گرادیان  $(e^y)^{NLI}$  به دست آورده شود. رابطه  $n_{p,i}^{NLI}(e^y)$  به صورت زیر نوشته می‌شود.

$$\begin{aligned} n_{p,i}^{NLI}(e^y) &= \sum_{l=1}^{m_i} \sum_{j=1}^N e^{(a_{i,j}^T e^y) + 2y_{p,i} + \log(N_l) + \log(NL_{ref}(|n_i - n_j|))} \\ &= \sum_{l=1}^{m_i} \sum_{j=1}^N e^{(a_{i,j}^T e^y) + \log(N_l) + \log(NL_{ref}(|n_i - n_j|))} \end{aligned} \quad (17)$$

که در آن  $a_{p,k} = e_{p,i} + 2e_{p,j}$  برداری به اندازه کل مسیرهای نوری موجود در شبکه است که درایه  $k$  ام آن ۱ و سایر درایه‌ها صفر هستند. بنابراین گرادیان رابطه (۱۷) به صورت زیر به دست می‌آید:

$$\nabla_y n_{p,i}^{NLI}(e^y) = \sum_{l=1}^{m_i} \sum_{j=1}^N a_{i,j}^T e^{(a_{i,j}^T e^y) + \log(N_l) + \log(NL_{ref}(|n_i - n_j|))} \quad (18)$$

سپس گرادیان  $(e^y)^{NLI}$  از رابطه زیر محاسبه می‌شود:

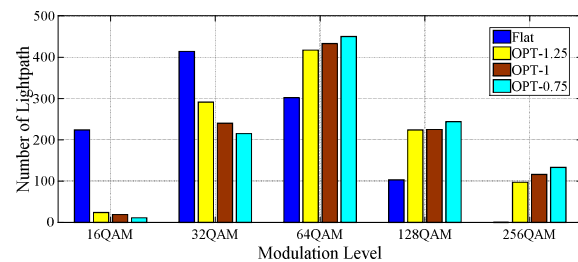
$$\nabla_y SNR_{p,i}(e^y) = \frac{e_{p,i} e^{y_{p,i}}}{n_{p,i}^{ASE} + n_{p,i}^{NLI}(e^y)} - \frac{\nabla_y n_{p,i}^{NLI}(e^y)}{(n_{p,i}^{ASE} + n_{p,i}^{NLI}(e^y))^2} \quad (19)$$

و درنهایت گرادیان رابطه (۱۲) برابر است با:

$$\nabla_y C(e^y) = 2 \sum_{i=1}^M \frac{\Gamma \nabla_y SNR_{p,i}(e^y)}{(\Gamma \nabla_y SNR_{p,i}(e^y) + 1) \ln(2)} \quad (20)$$

### مراجع

- [1] E. Hugues-Salas *et al.*, "Next generation optical nodes: The vision of the European research project IDEALIST," *IEEE Commun. Mag.*, vol. 53, no. 2, pp. 172–181, 2015.
- [2] O. Gerstel, "Elastic Optical Networking: A New Dawn for the Optical Layer," *IEEE Commun. Mag.*, vol. 50, no. February, p. 12–20, 2012.
- [3] H. Zang, J. P. Jue, and B. Mukherjee, "A review of routing and wavelength assignment approaches for wavelength-routed optical WDM networks," *Opt. networks Mag.*, vol. 1, no. 1, pp. 47–60, 2000.
- [۴] سعید سید طاهری و علی رضا عنده‌لیب، «طرایحی و اثافتگرهای مبتنی بر بلورهای فوتونی با قابلیت توانسازی مناسب برای سامانه‌های مخابرات مخابرات نوری»، مجله مهندسی برق دانشگاه تبریز، جلد ۴۷، شماره ۲، ۱۳۹۶.
- [۵] پرویز امیری، محمود صیفوردی، بابک آفرین و آوا هدایتی پور، «طرایحی پیش تقویت کننده RGC کم نویز مدار مجتمع CMOS با پهنای باند ۲۰ GHz و بهره ۶۰ dBΩ»، مجله مهندسی برق دانشگاه تبریز، جلد ۴۶، شماره ۲، ۱۳۹۵.
- [6] D. S. Frankel, *Model driven architecture applying MDA*. John Wiley & Sons, 2003.



شکل ۱۳: تعداد مدولاسیون‌های تخصیص داده شده

جدول ۳: تعداد درخواست‌های مسدود شده

| سناریو   | مسدود به علت ایجاد اختلال در مسیرهای قبلی | مسدود به علت پایین SNR |
|----------|---|------------------------|
| Flat     | 0   | 0                      |
| OPT-1.25 | 0   | 0                      |
| OPT-1    | 11  | 0                      |
| OPT-0.75 | 3732                                      | 0                      |

### ۶-نتیجه گیری

در این مقاله، برای شبکه‌های نوری با لایه کنترل متتمرکز الگوریتمی بهمنظور بیشینه‌سازی ظرفیت و استفاده کارآمدتر از منابع محدود شبکه، با درنظر گرفتن اثرهای غیرخطی ارائه شد. اثرهای غیرخطی با مدل نویز گوسی بیان شد و برای محاسبه توان نویز غیرخطی کانال‌ها با استفاده از مدل نویز گوسی در یک گستره محاسبه و به عنوان توان نویز غیرخطی مرجع ذخیره شد. مسیرهای نوری که حداقل در یک لینک باهم اشتراک دارند به علت اثرهای غیرخطی کانال‌ها برهم باعث ایجاد اختلال در یکدیگر می‌شوند به طوری که یکی از مهم‌ترین عوامل کاهش SNR مسیرهای نوری نویز غیرخطی می‌باشد. تخصیص توان یکتا به هر مسیر نوری با درنظر گرفتن مدل نویز گوسی نیازمند معمازی محاسبه مسیر به صورت متتمرکز است. در این مقاله با توسعه پروتکل PCE برای شبکه‌های متتمرکز نوری یک الگوریتم محاسبه مسیر در ساختار PCE سلسه مراتبی ارائه شد که در آن از یک روش ابتکاری برای تخصیص کانال استفاده می‌شود و براساس آن در هر وضعیتی از شبکه بهترین کانال از نظر پایین‌بودن اثرهای غیرخطی انتخاب می‌شود. تخصیص توان به مسیرهای نوری به صورت پویا و با هدف بیشینه‌سازی ظرفیت شبکه در هر لحظه انجام می‌شود و توان لحظه‌ای مسیرهای نوری با توسعه پروتکل PCEP به فرستنده-گیرنده‌های نوری گره‌ها اعلام می‌شود. نتایج شبیه‌سازی با حالتی که به همه مسیرهای نوری یک توان بکسان اختصاص داده SNR ۱/۸۷ dB در می‌شود مقایسه شد و به طور متوسط با افزایش ۱۳۸/۴ THz می‌توان از مدل مدولاسیون‌های نوری تخصیص داده شده به بالاتر و درنتیجه کاهش تعداد کانال‌های نوری تخصیص داده شده به درخواست‌ها، گذردهی شبکه نوری ۱۳۸/۴ THz افزایش پیدا کرد.

- [13] S. J. Savory, "Congestion aware routing in nonlinear elastic optical networks," *IEEE Photonics Technol. Lett.*, vol. 26, no. 10, pp. 1057–1060, 2014.
- [14] A. Alvarado, D. J. Ives, S. J. Savory, and P. Bayvel, "On the impact of optimal modulation and FEC overhead on future optical networks," *J. Light. Technol.*, vol. 34, no. 9, pp. 2339–2352, 2016.
- [15] I. Roberts, J. M. Kahn, and D. Boertjes, "Convex channel power optimization in nonlinear WDM systems using Gaussian noise model," *J. Light. Technol.*, vol. 34, no. 13, pp. 3212–3222, 2016.
- [16] M. Kanj, E. Le Rouzic, J. Meuric, B. Cousin, and D. Amar, "Optical power control in GMPLS control plane," *J. Opt. Commun. Netw.*, vol. 8, no. 8, pp. 553–568, 2016.
- [17] F. Paolucci, F. Cugini, A. Giorgetti, N. Sambo, and P. Castoldi, "A survey on the path computation element (PCE) architecture," *IEEE Commun. Surv. Tutorials*, vol. 15, no. 4, pp. 1819–1841, 2013.
- [18] R. Munoz, R. Casellas, R. Martínez, and R. Vilalta, "PCE: What is it, how does it work and what are its limitations?," *J. Light. Technol.*, vol. 32, no. 4, pp. 528–543, 2014.
- [19] F. Agraz Bujan, "Advanced routing mechanisms in ASON/GMPLS networks," 2012.
- [7] A. Carena, V. Curri, G. Bosco, P. Poggio, and F. Forghieri, "Modeling of the impact of nonlinear propagation effects in uncompensated optical coherent transmission links," *J. Light. Technol.*, vol. 30, no. 10, pp. 1524–1539, 2012.
- [8] P. Poggio and I. Paper, "The GN Model of Non-Linear Propagation in Uncompensated Coherent Optical Systems," *J. Light. Technol.*, vol. 30, no. 24, pp. 3857–3879, 2012.
- [9] P. Poggio, G. Bosco, A. Carena, V. Curri, Y. Jiang, and F. Forghieri, "The GN-model of fiber non-linear propagation and its applications," *J. Light. Technol.*, vol. 32, no. 4, pp. 694–721, 2014.
- [10] X. Chen and W. Shieh, "Closed-form expressions for nonlinear transmission performance of densely spaced coherent optical OFDM systems," *Opt. Express*, vol. 18, no. 18, pp. 19039–19054, 2010.
- [11] P. Johannsson and M. Karlsson, "Perturbation analysis of nonlinear propagation in a strongly dispersive optical communication system," *J. Light. Technol.*, vol. 31, no. 8, pp. 1273–1282, 2013.
- [12] D. J. Ives, P. Bayvel, and S. J. Savory, "Adapting transmitter power and modulation format to improve optical network performance utilizing the gaussian noise model of nonlinear impairments," *J. Light. Technol.*, vol. 32, no. 21, pp. 3485–3494, 2014.

**زنیوس‌ها**

- <sup>1</sup> Wavelength Division Multiplexing
- <sup>2</sup> Fixed grid
- <sup>3</sup> Span
- <sup>4</sup> Routing and Wavelength assignment
- <sup>5</sup> Generalized Multi-Protocol Label Switching
- <sup>6</sup> Quadrature Amplitude Modulation
- <sup>7</sup> Orthogonal Frequency Division Multiplexing
- <sup>8</sup> Open Shortest Path First
- <sup>9</sup> Intermediate system to intermediate system
- <sup>10</sup> Path Computation Element
- <sup>11</sup> Four Wave Mixing
- <sup>12</sup> Self-Phase Modulation
- <sup>13</sup> Cross-Phase Modulation
- <sup>14</sup> Link Management Protocols
- <sup>15</sup> Resource Reservation Protocol-Traffic Engineering
- <sup>16</sup> Traffic Engineering Database
- <sup>17</sup> Path Computation Client
- <sup>18</sup> Label-Switched Path Data Base
- <sup>19</sup> Path Continuous Unoccupied Channels
- <sup>20</sup> Path Occupied Channels